РОМБ 55°

Обработка	
Чистовая	+
Получист./получерн.	
Черновая	

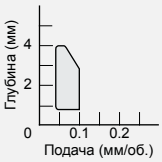

Обозначение по ISO	Допуск на вписанную	Толщина, мм	Радиус при вершине, мм	Диаметр отверстия, мм	С покрытием								Без покрытия							
					Твердый сплав								Керметы							
					JC105V	JC110V	JC215V	JC325V	JC450V	JC5003	JC5015	JC8015	LN10	NIT	CX50	CX75	PX90	KT9	DX25	UMS
DCET 0702005R-MF	6,35	2,38	0,05	2,8						●	●									
DCET 070201L-MF	6,35	2,38	0,1	2,8						●	●									
DCET 070201R-MF	6,35	2,38	0,1	2,8						●	●									
DCET 070202L-MF	6,35	2,38	0,2	2,8						●	●									
DCET 070202R-MF	6,35	2,38	0,2	2,8						●	●									
DCET 070204L-MF	6,35	2,38	0,4	2,8						●	●									
DCET 070204R-MF	6,35	2,38	0,4	2,8						●	●									
DCET11T3005R-MF	9,525	3,97	0,05	4,4						●	●									
DCET 11T301L-MF	9,525	3,97	0,1	4,4						●	●									
DCET 11T301R-MF	9,525	3,97	0,1	4,4						●	●									
DCET 11T302L-MF	9,525	3,97	0,2	4,4						●	●									
DCET 11T302R-MF	9,525	3,97	0,2	4,4						●	●									
DCET 11T304L-MF	9,525	3,97	0,4	4,4							●									
DCET 11T304R-MF	9,525	3,97	0,4	4,4							●									

Применямость по ISO																		
Стали	P																	
Нержавеющие стали	M						+	+										
Чугуны	K																	
Цветные металлы	N																	
Жаропрочные сплавы	S						+	+										
Материалы высокой твердости	H																	

РОМБ 55°

Обработка	
Чистовая	+
Получист./получерн.	
Черновая	

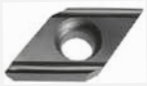

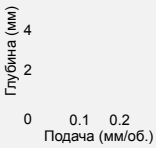

Обозначение по ISO	Допуск на вписанную	Толщина, мм	Радиус при вершине, мм	Диаметр отверстия, мм	С покрытием								Без покрытия							
					Твердый сплав								Керметы							
					JC105V	JC110V	JC215V	JC325V	JC450V	JC5003	JC5015	JC8015	LN10	NIT	CX50	CX75	PX90	KT9	DX25	UMS
DPET 070201R-MF	6,35	2,38	0,1	2,8							□									
DPET 11T301R-MF	9,525	3,97	0,1	4,4							□									
DPET 11T302R-MF	9,525	3,97	0,2	4,4							□									

Применямость по ISO																		
Стали	P																	
Нержавеющие стали	M																	
Чугуны	K																	
Цветные металлы	N																	
Жаропрочные сплавы	S																	
Материалы высокой твердости	H																	